



Московский государственный университет имени М.В. Ломоносова  
Факультет вычислительной математики и кибернетики

Николайчук Артём Константинович

Отчёт о практической работе по курсу суперкомпьютерное  
моделирование и технологии

Москва, 2024

# Содержание

1	Постановка задачи	3
2	Решение задачи	5
3	Распараллеливание при помощи OpenMp-нитей	7
4	Распараллеливание при помощи MPI	9
5	Распараллеливание при помощи совмещения подходов (OpenMP + MPI)	9
6	Распараллеливание при помощи MPI и GPU	10
7	Результаты	11
8	Анализ результатов	17

# 1 Постановка задачи

Необходимо найти численное решение уравнения  $-\Delta u = 1, (x, y) \in D$

Множество  $D$  имеет описывается ограничениями и имеет вид на рисунке 1

$$\begin{cases} 1 < x < 3, \\ x^2 - 4 \cdot y^2 > 1 \end{cases}$$

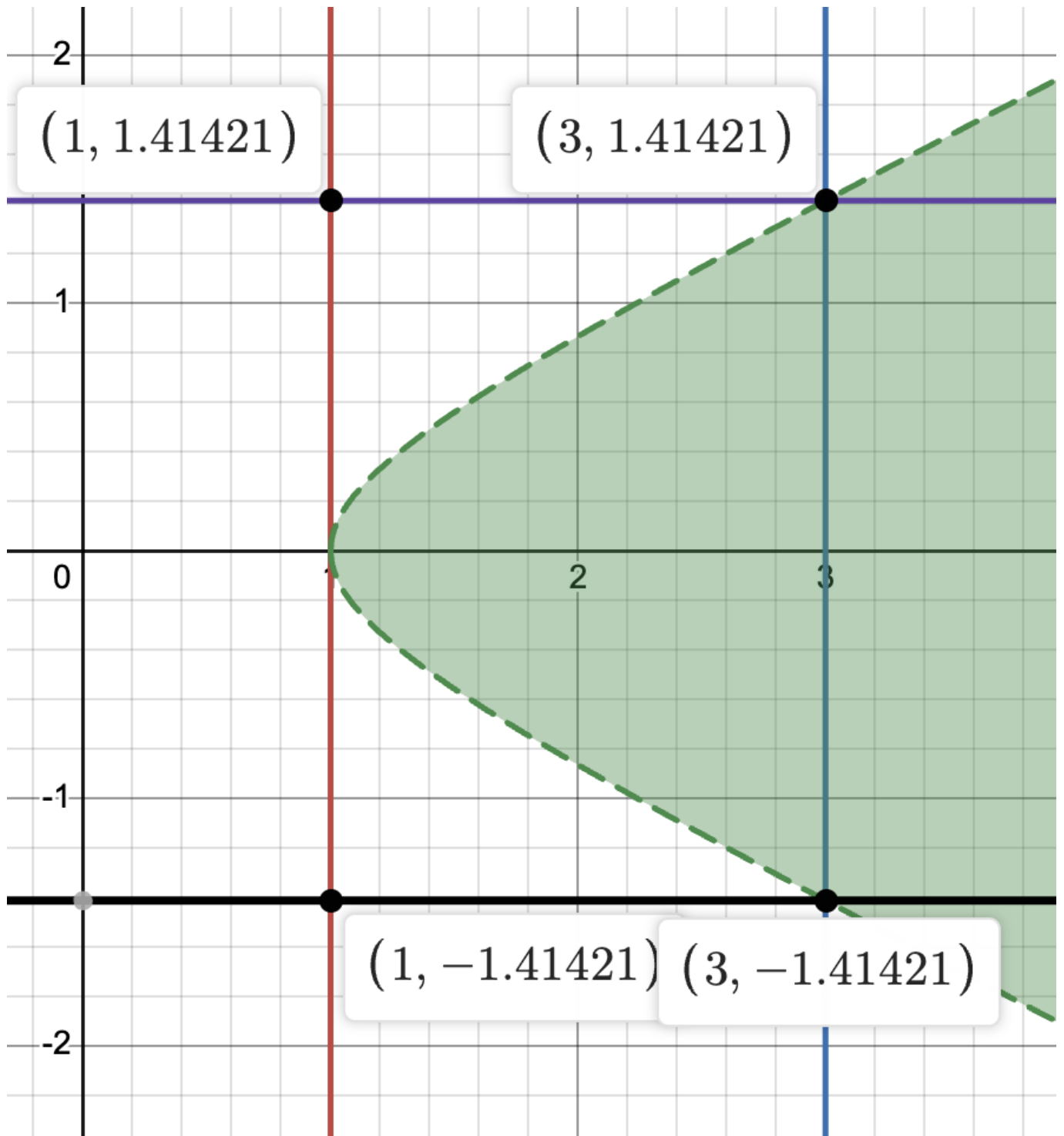


Рисунок 1: Область  $D$

Область  $D$  является подобластью прямоугольника с вершинами

$A(1, -\sqrt{2}), B(1, \sqrt{2}), C(3, \sqrt{2}), D(3, -\sqrt{2})$ . Этот прямоугольник будет использован для построения сетки и поиска решения.

## 2 Решение задачи

Первым шагом решения является вычисление на сетке вспомогательных матриц А, В, F. Значения матриц определяются формулами

$$a_{ij} = \frac{1}{h_2} \int_{y_{j-1/2}}^{y_{j+1/2}} k(x_{i-1/2}, t) dt$$

$$b_{ij} = \frac{1}{h_1} \int_{x_{i-1/2}}^{x_{i+1/2}} k(t, y_{j-1/2}) dt$$

$$F_{ij} = \frac{1}{h_1 h_2} \iint_{\Pi_{ij}} F(x, y) dx dy, \quad \Pi_{ij} = \{(x, y) : x_{i-1/2} \leq x \leq x_{i+1/2}, y_{j-1/2} \leq y \leq y_{j+1/2}\}$$

Для а и b интегралы можно вычислить аналитически по формуле

$$a_{ij} = h_2^{-1} l_{ij} + (1 - h_2^{-1} l_{ij}) / \varepsilon$$

Где  $l_{ij}$  это длина части отрезка  $[x_{i-1/2}, x_{i+1/2}]$ , которая попадает в область D.

Рассмотрим случаи для вычисления коэффициента  $a_{ij}$ .

- Вертикальный отрезок полностью в  $D$ .
- Вертикальный отрезок полностью не в  $D$ .
- Вертикальный отрезок имеет одно пересечение с гиперболой.
- Вертикальный отрезок имеет два пересечения с гиперболой.

Во всех случаях можно воспользоваться формулой выше.

Рассмотрим случаи для вычисления коэффициента  $b_{ij}$ .

- Горизонтальный отрезок полностью в  $D$ .
- Горизонтальный отрезок полностью не в  $D$ .
- Горизонтальный отрезок имеет одно пересечение с гиперболой и не пересекает границы  $x = 1$  и  $x = 3$ .
- Горизонтальный отрезок имеет одно пересечение с гиперболой и пересекает границу  $x = 1$ .

- Горизонтальный отрезок имеет одно пересечение с гиперболой и пересекает границу  $x = 3$ .

Во всех случаях пользуемся формулой выше.

Для расчёта  $f_{ij}$  используется формула

$$(h_1 h_2)^{-1} S_{ij} f(x_i^*, y_j^*),$$

В этой формуле  $S_{ij}$  это площадь пересечения прямоугольника  $\Pi_{ij}$  и области  $D$ ,  $f(x_i^*, y_j^*)$  значение функции в произвольной точке из этого пересечения. При этом можно отметить, что все  $\Pi_{ij}$  можно обрезать по  $x$  до отрезка  $[1, 3]$ , потому что части вне этого отрезка имеют нулевую площадь пересечения с областью  $D$ . Все варианты рассмотрены на рисунках 2 и 3. При вычислении полезно разбить прямоугольник на два  $y > 0$  и  $y < 0$ . В некоторых случаях удобно считать площадь, как сумму площади трапеции и прямоугольника.

Далее переходим к методу скорейшего спуска. Метод является одношаговым. Итерация  $w^{(k+1)}$  вычисляется по итерации  $w^{(k)}$  согласно равенствам:

$$w_{ij}^{(k+1)} = w_{ij}^{(k)} - \tau_{k+1} r_{ij}^{(k)},$$

где невязка  $r^{(k)} = Aw^{(k)} - B$ , итерационный параметр

$$\tau_{k+1} = \frac{(r^{(k)}, r^{(k)})}{(Ar^{(k)}, r^{(k)})}.$$

Начальное приближение - нулевая матрица. Критерий остановки  $\delta$  выбирается в зависимости от сетки и времени, которое тратится на сходимость.  $\delta = 3e^{-7}$  для всех матриц, кроме  $N = 180, M = 160$ , для них  $\delta = 26e^{-9}$

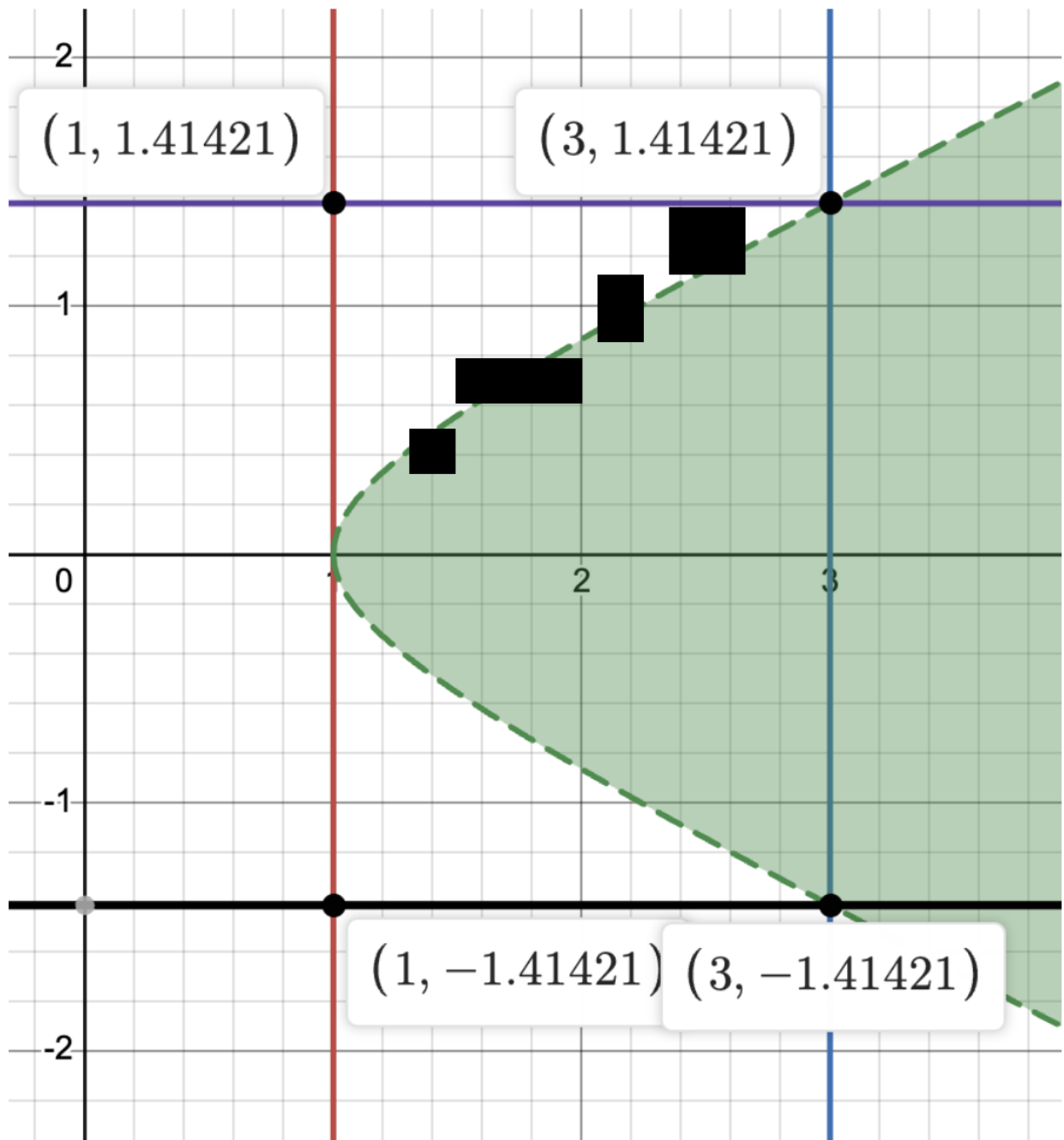


Рисунок 2: Варианты пересечений

### 3 Распараллеливание при помощи OpenMp-нитей

Основная часть программы, которая занимает большую часть времени - поиск решения матричного уравнения. В нём используются тяжёлые операции трёх типов - применение оператора, вычитание матрицы и вычисление скалярного произведения. Первые две можно ускорить, применив директиву

```
#pragma omp parallel for collapse(2)
```

Они вычисляются при помощи двумерного цикла, все операции внутри независимы.

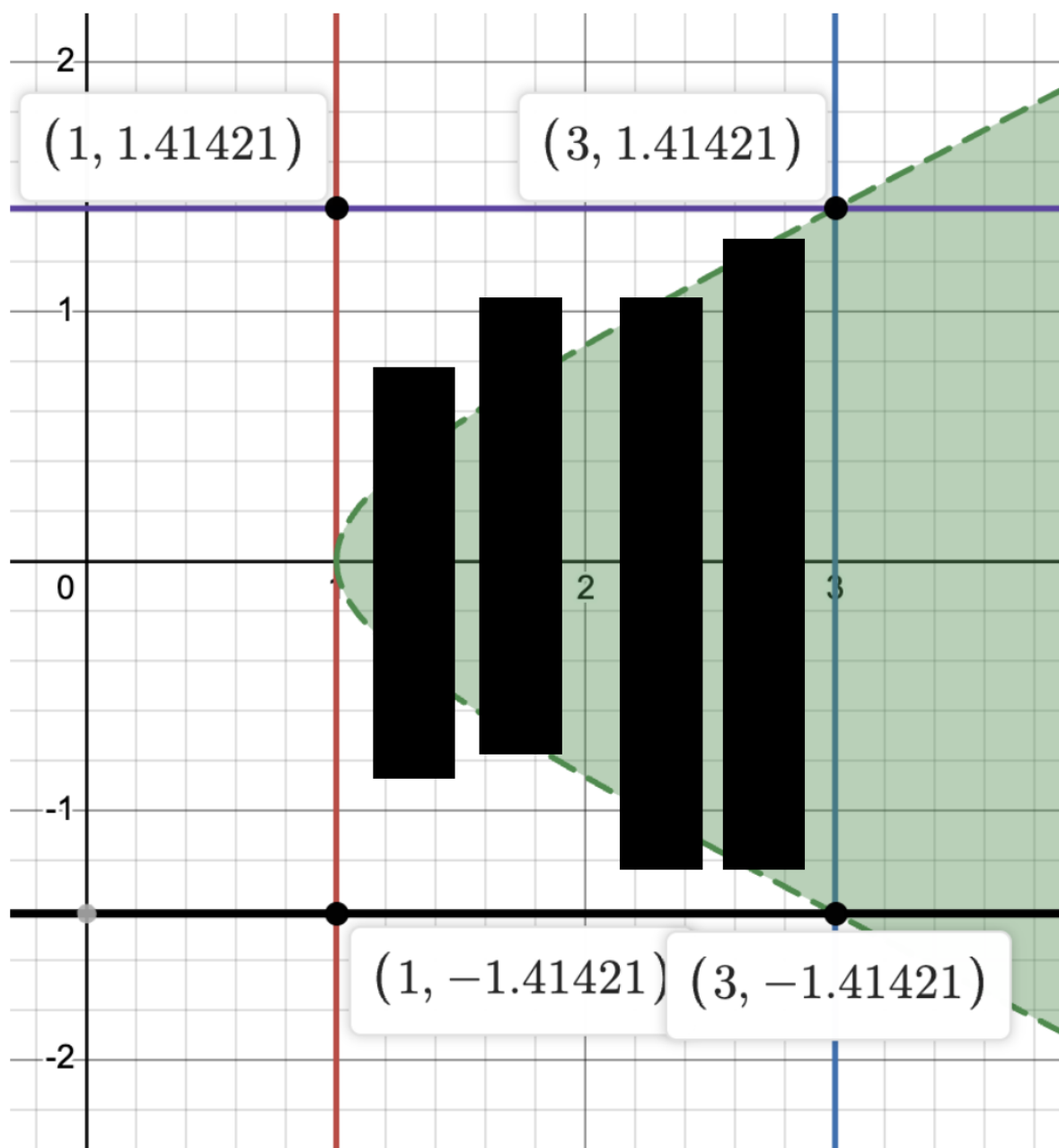


Рисунок 3: Варианты пересечений

Для ускорения вычисления скалярного произведения необходимо применить директиву, потому что вычисление использует запись в общую переменную *result*

```
#pragma omp parallel for reduction (+: result)
```



## 4 Распараллеливание при помощи MPI

Каждый из процессов должен работать над своей областью матрицы. Для этого необходимо равномерно разбить матрицу между процессами. Для получения разбиения матрицы на прямоугольники воспользуемся функцией

`MPI_Dims_create`

Она вернёт размерность сетки, на которую надо разбить матрицу, например для 4 процессов будет сетка 2x2, для шести 3x2.

Далее необходимо разделить матрицу размера  $(N+1) \times (M+1)$  на сетку между процессами.

Алгоритм на примере стороны -  $\text{dim}[0]$  - нужное количество элементов сетки. Тогда в каждом элементе будет хотя бы  $N/\text{dim}[0]$  элементов матрицы. При этом среди первых прямоугольников необходимо распределить  $N \% \text{dim}[0]$  элементов.

Формула -  $a * (N/\text{dim}[0] + 1) + b * (N/\text{dim}[0]) = N$ , где  $a$  - количество прямоугольников со стороной  $N/\text{dim}[0] + 1$  и  $b$  - со строной  $N/\text{dim}[0]$ .

Таким образом можно разбить матрицу на равномерную сетку между процессами.

При вычислении действия оператора  $A$  на матрицу необходимо каждому из процессов использовать части матрицы, которые принадлежат другому процессу. Для этого эти границы подматриц передаются между процессами на каждой итерации.

Для этого используются функции `MPI_Isend` - для отправки и `MPI_Irecv` для чтения результата.

Для подсчёта скалярного произведения используется функция, в которую передаются предварительно подсчитанные скалярные произведения на подматрицах `MPI_Allreduce`

## 5 Распараллеливание при помощи совмещения подходов(OpenMP + MPI)

Комбинируем оба метода - добавляем прагмы в код программы для MPI.

## 6 Распараллеливание при помощи MPI и GPU

Для ускорения на GPU был выбран подход использования орепасс директив. Описание особенностей работы с орепасс-директивами и способ применения их для решения текущей задачи:

- Изначально инициализируются массивы с матрицами из условия, матрицей-решением, матрица для ошибки и набор вспомогательных массивов для пересылки данных. Они копируются на устройство директивой `#pragma acc data copy`. Далее начинается основной цикл.
- Вычисление матрицы  $r$  - действия оператора  $A$  на текущее решение  $w$ . Это вычисление двумерной матрицы производится полностью на устройстве при помощи директивы `#pragma acc parallel loop`.
- Теперь необходимо отправить копию данных на границе  $r$  другим mpi процессам. Для этого границы загружаются из устройства на хост директивой `#pragma acc update self`.
- Асинхронно граница отправляется другим процессам.
- В этот момент на устройстве запускается вычисление скалярного произведения  $(r, r)$  при помощи директивы `#pragma acc parallel loop reduction(+:result)`
- Теперь необходимо передать на устройство границы матрицы  $r$  от других процессов. - `#pragma acc update device`
- На устройстве вычисляется действие  $A$  на  $r$ . `#pragma acc parallel loop`
- Вычисляется скалярное произведение  $Ar$  на  $r$  - `pragma acc parallel loop reduction(+:result)`
- На хосте при помощи обмена с другими процессами вычисляется ошибка  $\tau$
- На устройстве обновляется текущее решение обновляется директивой `#pragma acc parallel loop`

Таким образом в алгоритме используется две пересылки данных между устройством и хостом - размер данных линейен. Используется две пересылки между mpi процессами - одна линейна по данным, вторая для вычисления скалярного произведения - константного размера. Причём mpi пересылка выполняется асинхронно.

## 7 Результаты

Файл *Readme.md* содержит описание действия для повторения экспериментов. В папке results можно найти артефакты запусков на полюсе.

На рисунке 4 продемонстрирован финальный ответ метода.

Далее представлены результаты экспериментов и графики ускорений.

Таблица 1: Таблица с результатами расчетов на ПВС IBM Polus последовательной программы.

Число точек сетки ( $M \times N$ )	Число итераций	Время решения(мс)
$10 \times 10$	927	18
$20 \times 20$	11773	861
$40 \times 40$	109441	31613

Анализ работы гри-частей программы представлен в таблице 6

Таблица 2: Таблица с результатами сравнения последовательной программы и OpenMP код

OpenMP-нити	Число точек сетки	Число итераций	Время	Ускорение
1	$40 \times 40$	109441	31613	1
2	$40 \times 40$	109441	17135	1.84
4	$40 \times 40$	109441	14589	2.16
8	$40 \times 40$	109441	12060	2.62

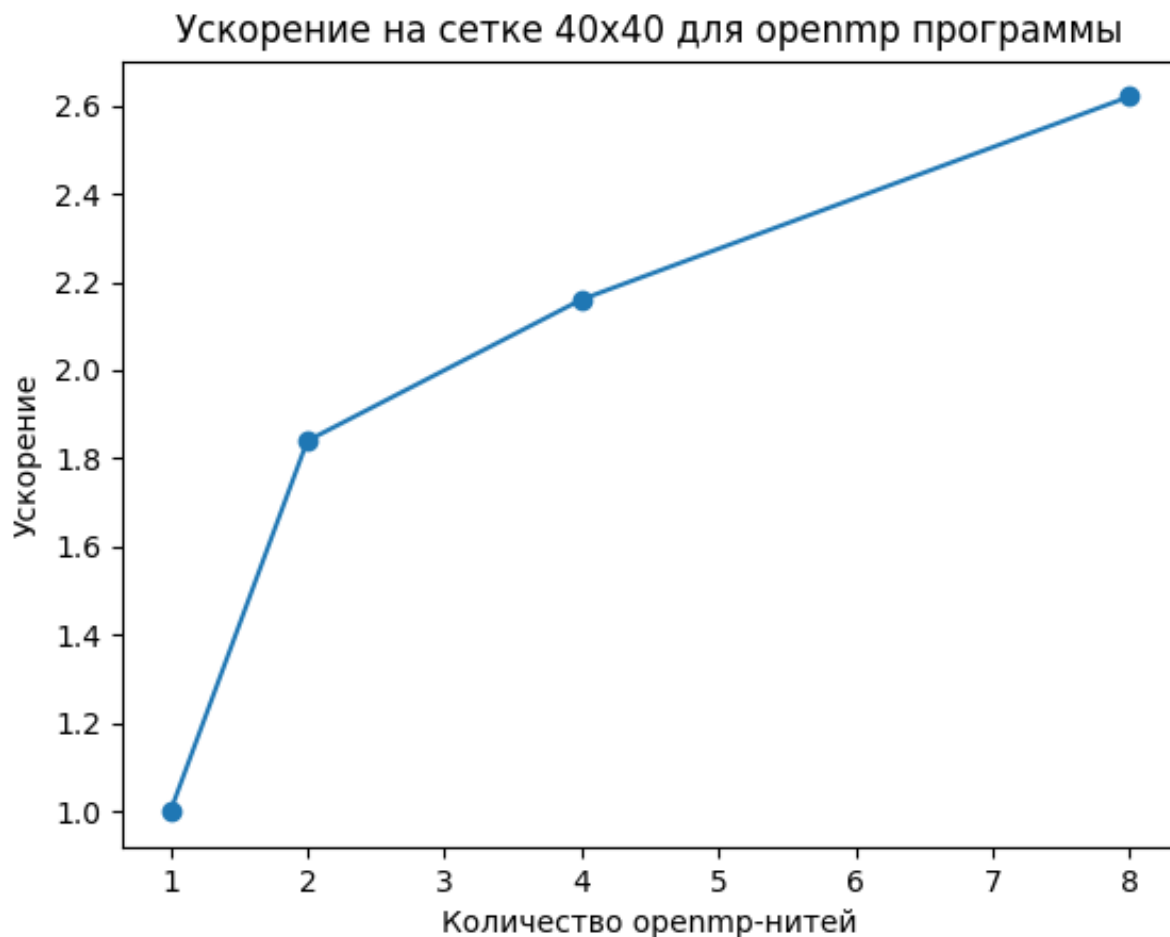


Таблица 3: Таблица с результатами расчетов на ПВС IBM Polus (OpenMP код).

OpenMP-нити	Число точек сетки	Число итераций	Время	Ускорение
1	$80 \times 90$	216073	77764	1
4	$80 \times 90$	216073	23841	3.26
8	$80 \times 90$	216073	18364	4.23
16	$80 \times 90$	216073	19883	3.91
1	$160 \times 180$	436649	627027	1
4	$160 \times 180$	436649	165407	3.79
8	$160 \times 180$	436649	96835	6.47
16	$160 \times 180$	436649	97567	6.42
32	$160 \times 180$	436649	106537	5.88

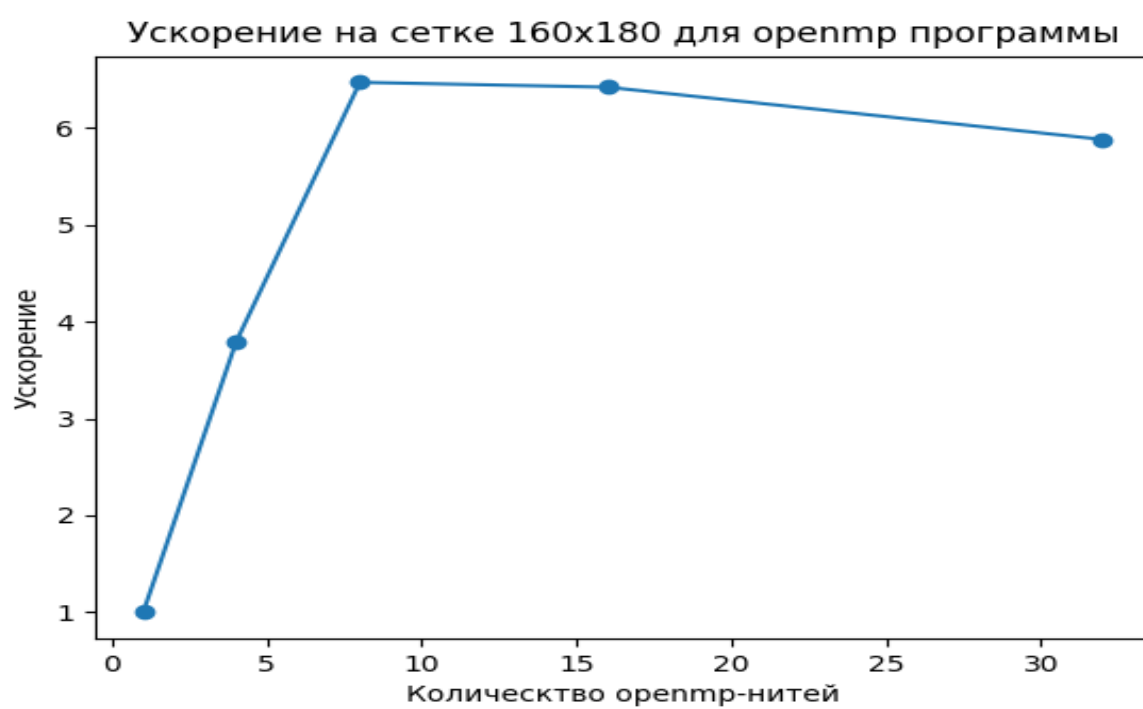
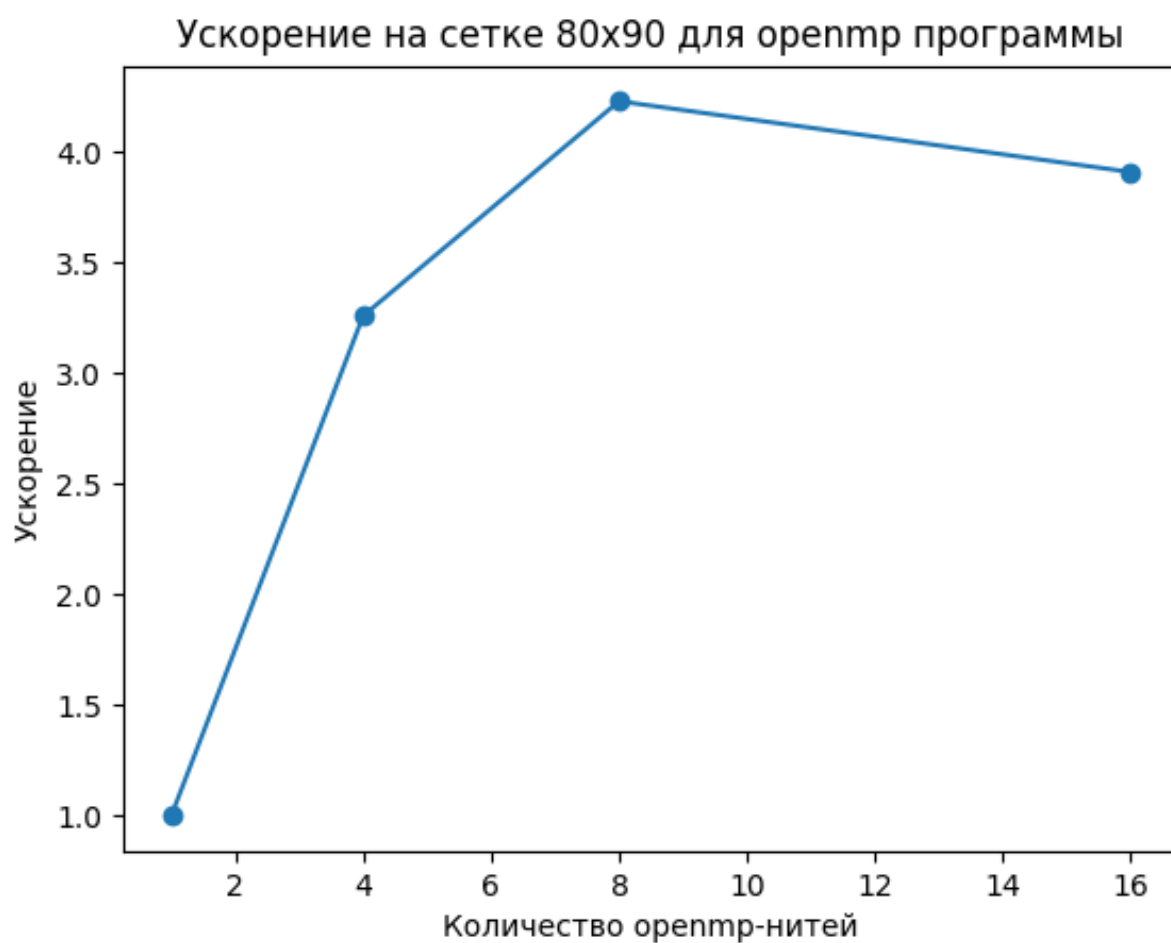
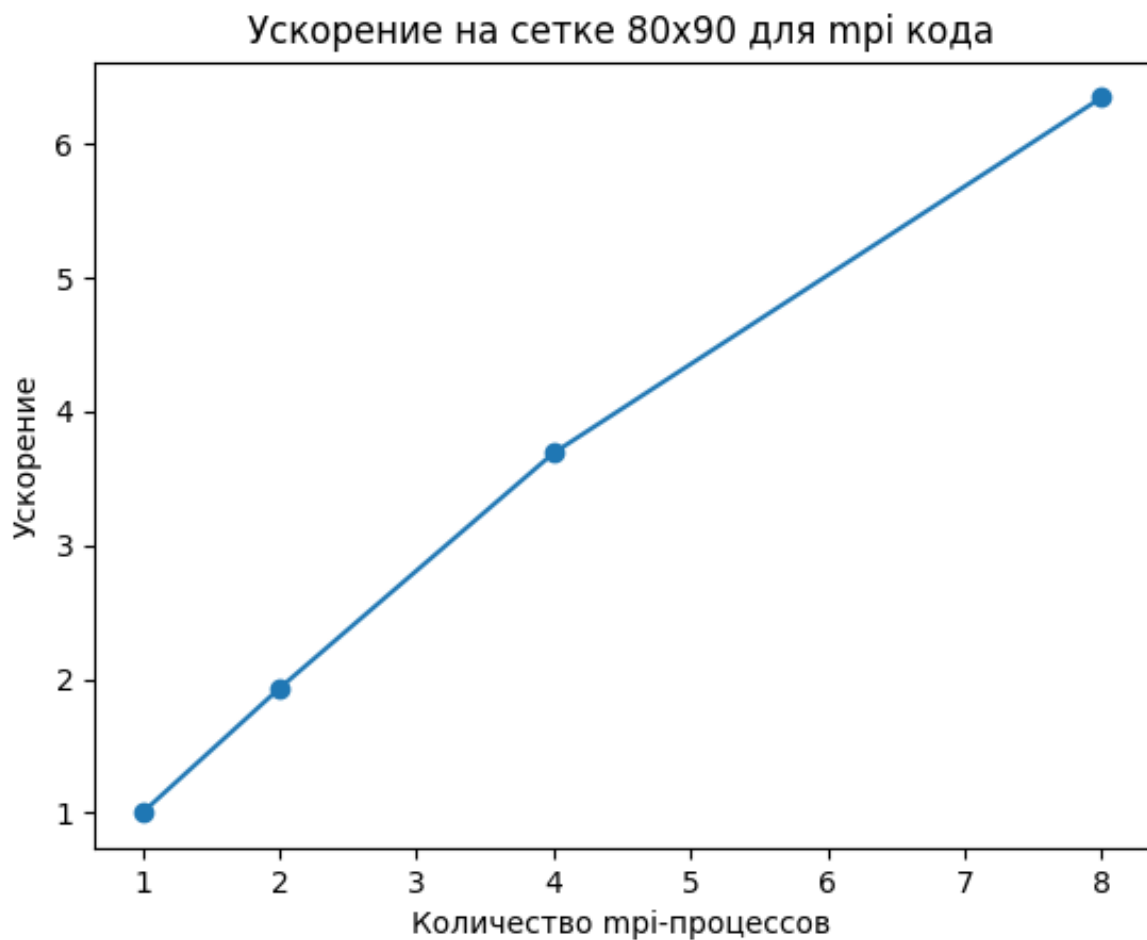


Таблица 4: Таблица с результатами расчетов на ПВС IBM Polus (MPI код).

МРІ-процессы	Число точек сетки	Число итераций	Время	Ускорение
1	$80 \times 90$	216073	123074	1
2	$80 \times 90$	216073	63709	1.93
4	$80 \times 90$	216073	33294	3.69
8	$80 \times 90$	216073	19368	6.35
1	$160 \times 180$	436649	1000830	1
2	$160 \times 180$	436649	509306	1.96
4	$160 \times 180$	436649	258794	3.86
8	$160 \times 180$	436649	134026	7.46
16	$160 \times 180$	436649	72921	13.72



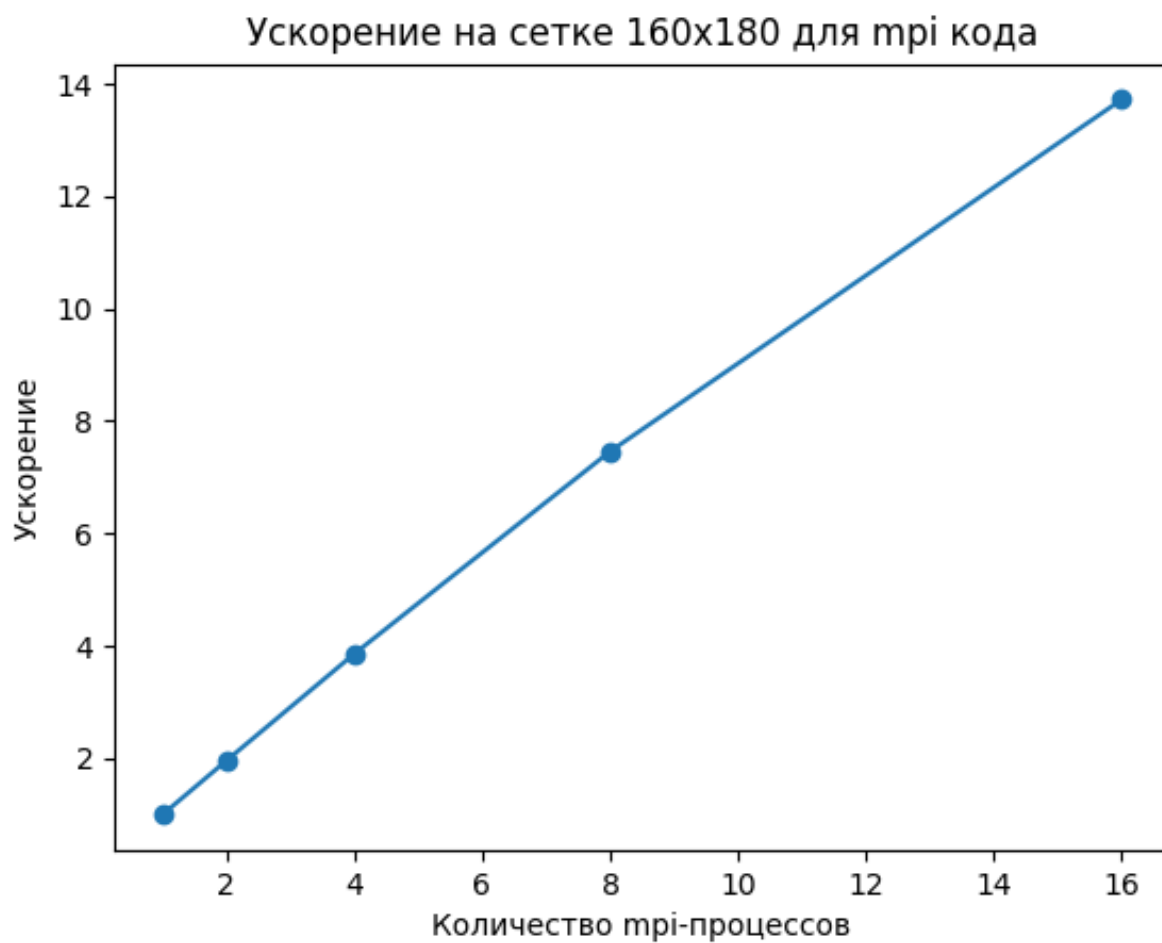
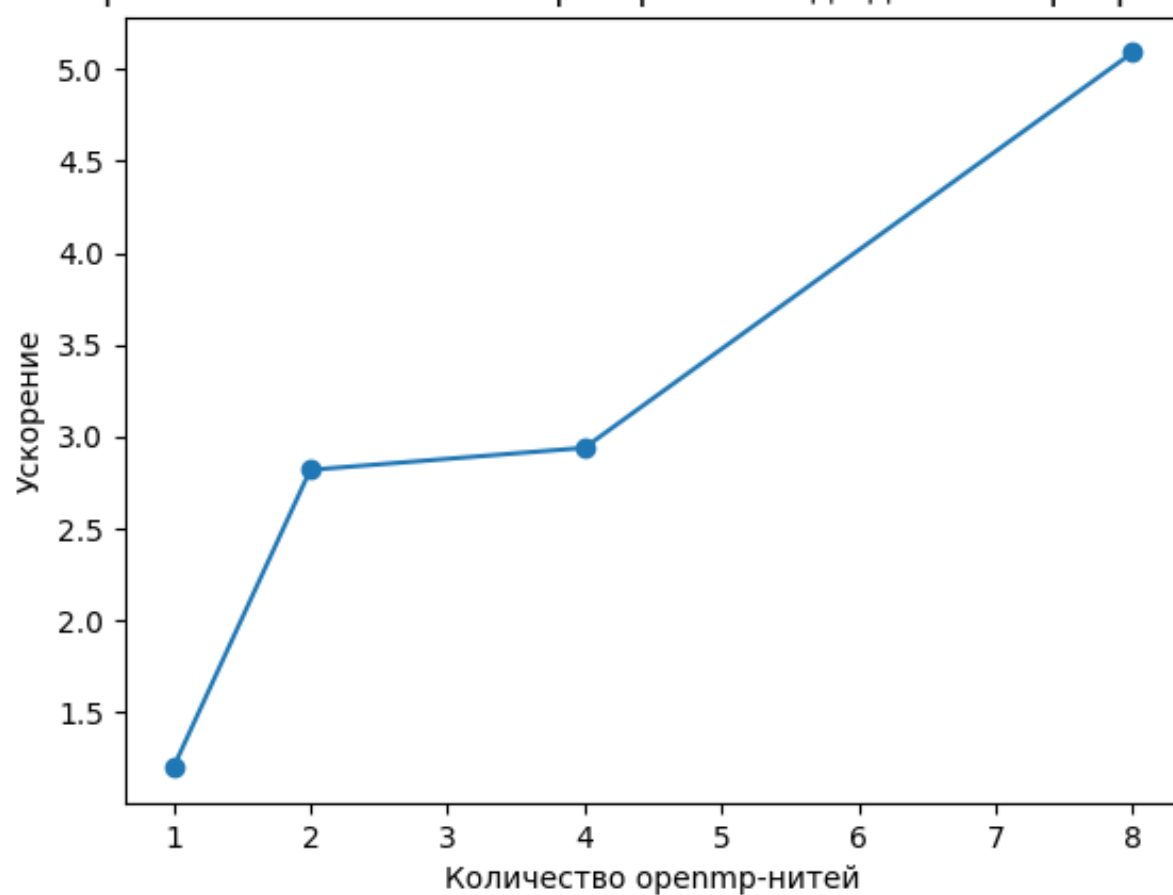


Таблица 5: Таблица с результатами расчетов на ПВС IBM Polus.

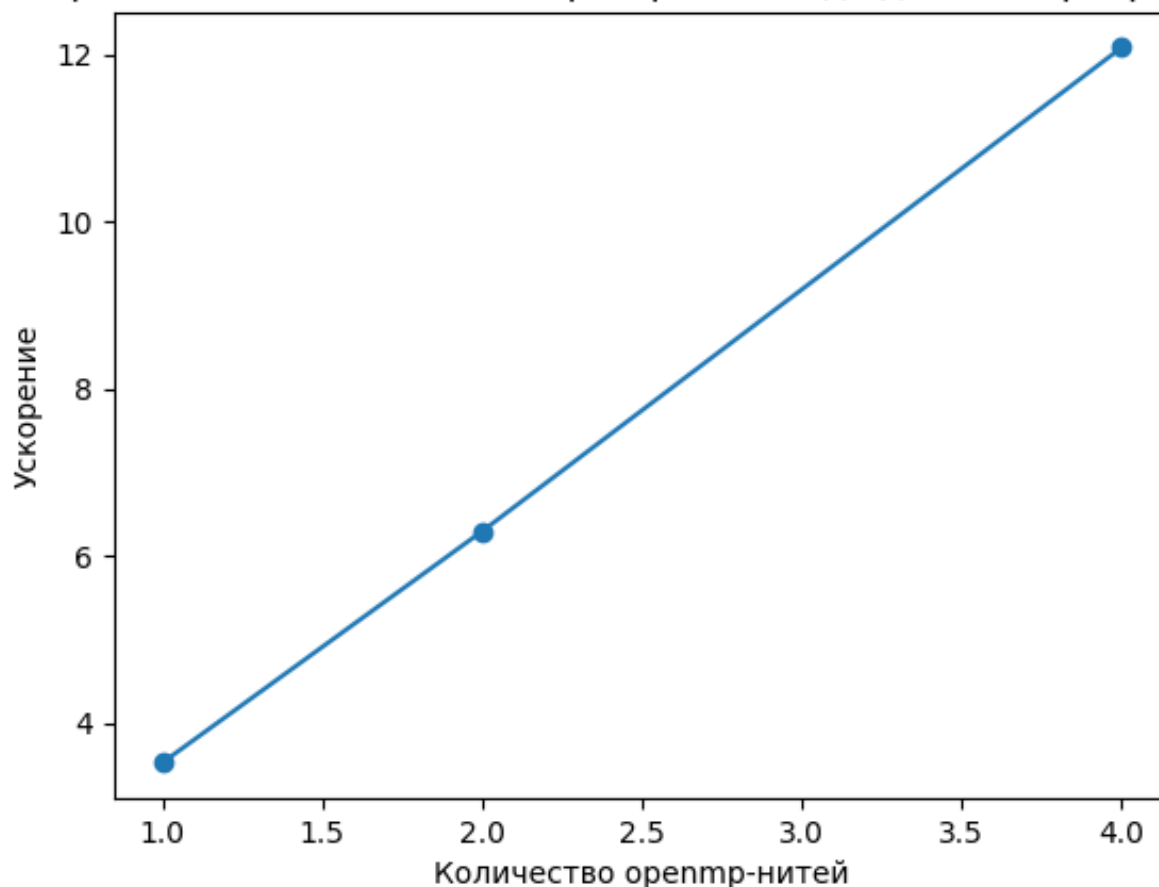
МРІ-процессы	ОpenMP-нити	Число точек сетки	Число итераций	Время	Ускорение
1	1	80 × 90	216073	125169	1
2	1	80 × 90	216073	104224	1.20
2	2	80 × 90	216073	44343	2.82
2	4	80 × 90	216073	42522	2.94
2	8	80 × 90	216073	24565	5.09
1	1	160 × 180	436649	1036870	1
4	1	160 × 180	436649	293674	3.53
4	2	160 × 180	436649	164411	6.30
4	4	160 × 180	436649	85736	12.09
4	8	160 × 180	436649	???	???

Ускорение на сетке 80x90 три+орепМР кода для 2-х три процессов





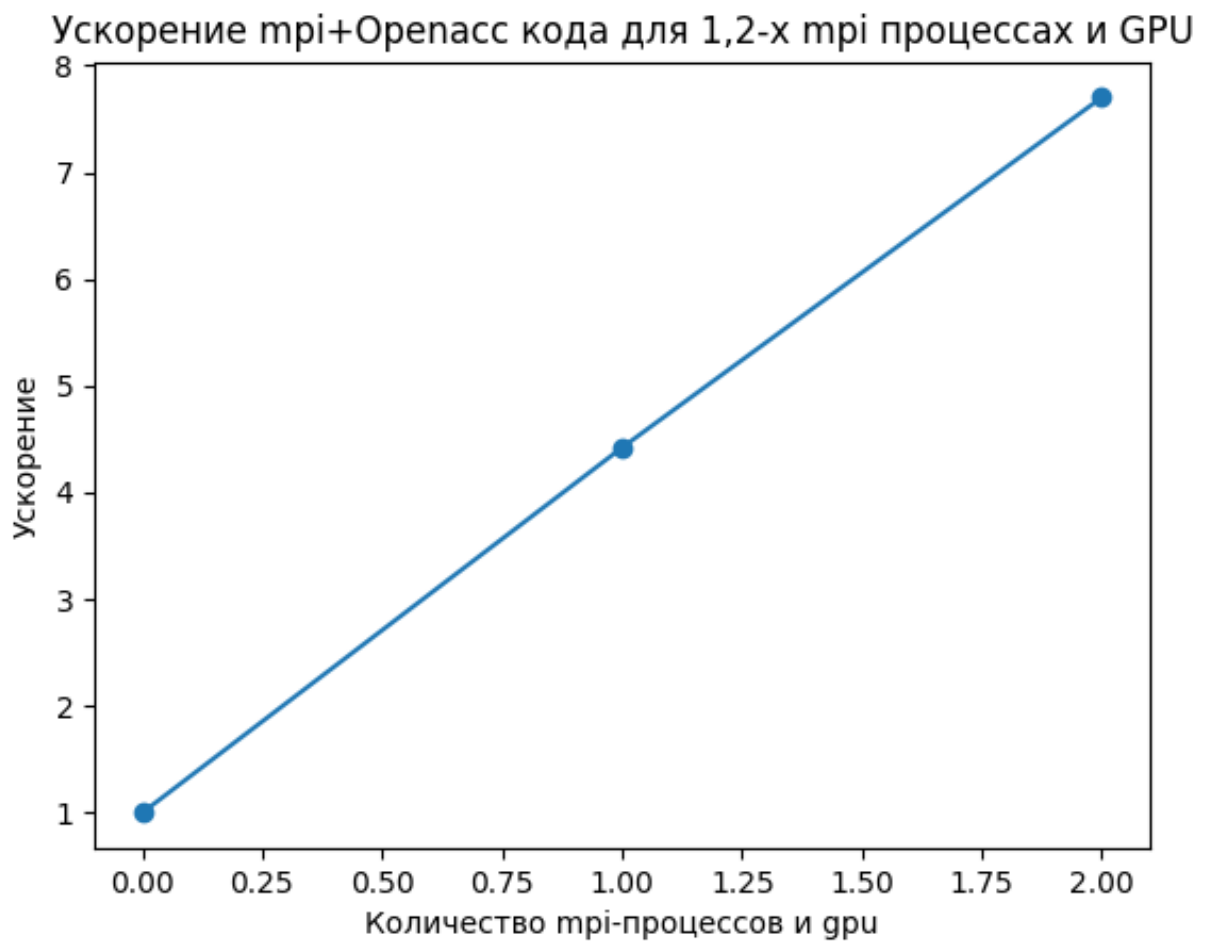
Ускорение на сетке 160x180 mri+openMP кода для 4-х mri процессов



## 8 Анализ результатов

Корректность программ, использующих технологии распараллеливания, определялась по сравнению с последовательной программой - при одинаковых начальных данных совпадало количество итераций алгоритма и финальная ошибка.

На основании запусков можно сделать следующие результаты: 1. Openmp программа позволяет ускорить выполнение по сравнению с последовательной версией, ускорение ожидаемо примерно линейно по количеству потоков. На графиках присутствует точка максимума - вероятная причина - недостаточный размер сеток для таких ресурсов. 2. Mri позволяет ускорить программу, ускорение линейно по количеству mri-процессов. По сравнению с openmp версией точка пика ускорения находится при большем количестве mri-процессов. При этом ускорение увеличивается с размером сетки, так как уменьшаются затраты на коммуникацию между процессами. 3. Mri+GPU показывает очень хорошее ускорение непосредственно циклов работы по сравнению с последовательной программой. Некоторые циклы ускоряются в 40 раз. Но при этом тратится больше времени на пересылку данных между хостом и устройством. Разниц между двумя mri-процессами с GPU и одним процессом почти нет. В этом случае матрица уменьшается в два раза, ускорения нет предположительно



из-за того, что параметры задачи из условия не используют все ресурсы гри.

Таблица 6: Таблица с результатами времени выполнения частей программы

Операция	Последовательная	1GPU, 1 mpi	2GPU, 2 mpi
Вычисление $AW$	586.42	13.66	13.26
Перенос $r$ с $gpi$	0.02	10.75	11.04
Вычисление $(r,r)$	10.03	40.18	41.19
Асинхронная отправка $r$	0.03	0.03	1.10
Перенос $r$ на $gpi$	0.02	8.67	9.25
Вычисление $Ar$	464.2	13.74	13.42
Вычисление $(Ar,r)$	10.03	40.11	40.85
Вычисление $\tau$	0.36	2.45	5.04
Вычисление $new\_w$	20.05	10.86	11.43
Общее время решения	1091.40	140.83	148.73

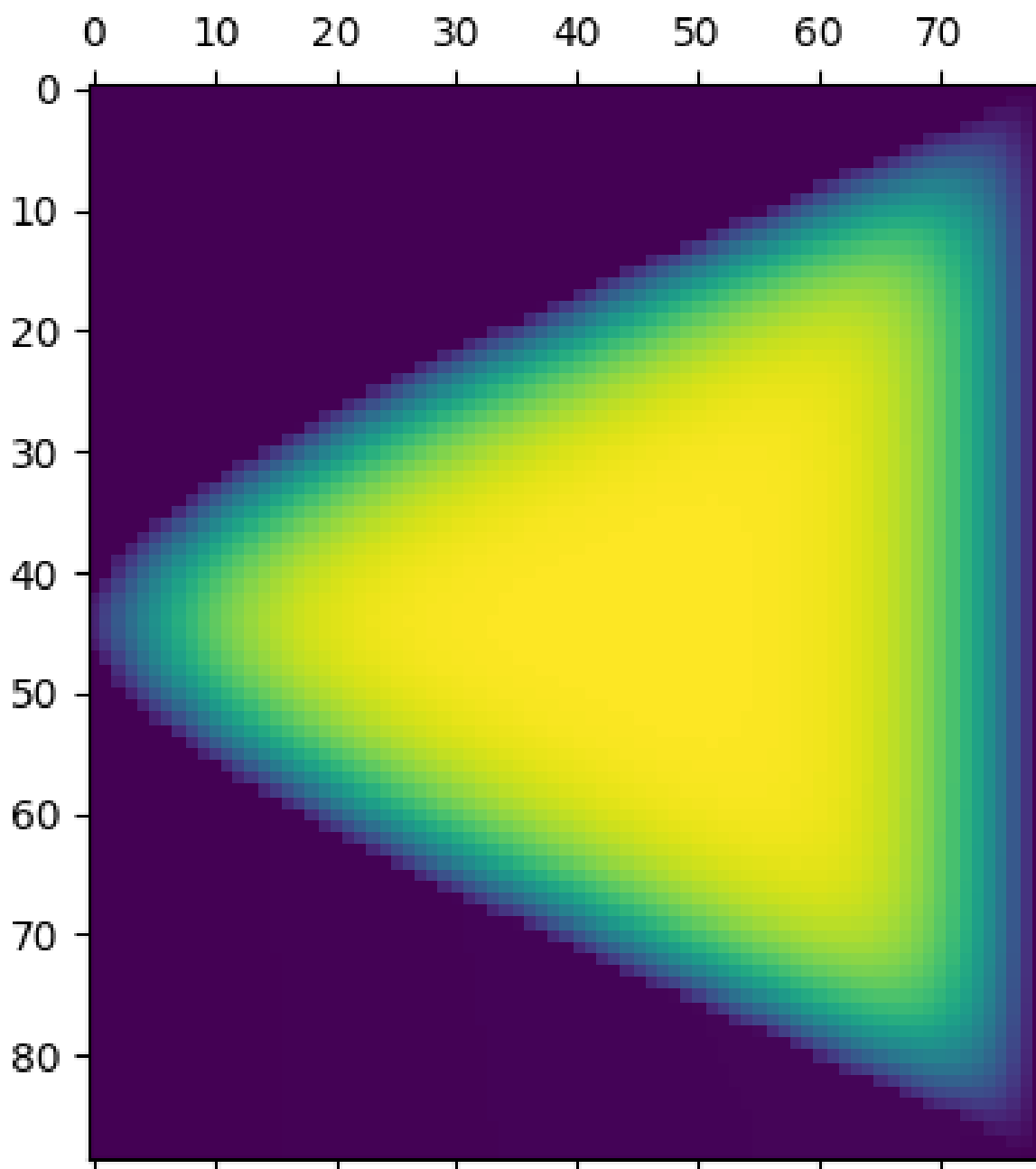


Рисунок 4: Финальный ответ метода